

بِسْمِ اللَّهِ الرَّحْمَنِ الرَّحِيمِ



دانشگاه اصفهان

دانشکده علوم

گروه فیزیک

پایان نامه کارشناسی ارشد رشته فیزیک گرایش ماده چگال

مطالعه اثر مجاورت در اتصال‌های ضعیف گرافینی بین ابررسانا و فرومغناطیس

استاد راهنما:

دکتر غلامرضا راشدی

پژوهشگر:

مرتضی صالحی

شهریور ماه ۱۳۸۹

کلیه حقوق مادی مرتبط بر نتایج مطالعات، ابتكارات
و نوآوری های ناشی از تحقیق موضوع این پایان نامه
متعلق به دانشگاه اصفهان است.



دانشگاه اصفهان

دانشکده علوم

گروه فیزیک

پایان نامه‌ی کارشناسی ارشد رشته‌ی فیزیک گرایش ماده چگال آقای

مرتضی صالحی تحت عنوان

مطالعه اثر مجاورت در اتصال‌های ضعیف گرافینی بین ابورسانا و فرومغناطیس

در تاریخ ۱۴۰۰/۰۹/۲۹ توسط هیئت داوران زیر بررسی و با درجه **ممتاز** به تصویب نهایی رسید.

۱- استاد راهنمای پایان نامه دکتر غلامرضا راشدی با مرتبه‌ی علمی استادیار

امضا

۲- استاد داور داخل گروه دکترا بهرام قنبری عدیوی با مرتبه‌ی علمی استادیار

امضا

۳- استاد داور خارج از گروه دکترا علی‌اکبر بابایی بروجنی با مرتبه‌ی علمی دانشیار

امضای مدیر گروه
دکتر حمیدرضا فلاح

تقدیم به پدر و مادر مهربانم

فهرست مطالب

عنوان	صفحه
-------	------

فصل اول: گرافین

۱-۱ آلوتروپ‌های کربن و گرافین	۱
۲-۱ ساخت گرافین	۳
۳-۱ بررسی پایداری گرافین	۴
۴-۱ ساختار شبکه گرافین	۴
۵-۱ یکدستی در گرافین	۱۲
۶-۱ اثر هال در گرافین	۱۳
۷-۱ پارادوکس کلاین	۱۷
۸-۱ نتیجه‌گیری	۱۸

فصل دوم: معادله‌های بوگلیوبوف-دژن

۱-۱ پیشینه کوانتمی ابرسانایی	۱۹
۲-۱ معادلات خودسازگار بوگلیوبوف-دژن	۲۰
۳-۱ بازتاب آندریو	۲۶
۴-۲ نظریه BTK	۳۰
۵-۲ نتیجه‌گیری	۳۹

فصل سوم: اتصال‌های گرافینی شامل ابرساناها و خواص ترابردی آنها

۱-۳ رسانندگی الکترونی اتصال گرافینی ابرسانا- نرمال	۴۰
۲-۱-۳ ویژه اسپینورهای ناحیه ابرسانا	۴۴
۲-۲-۳ ویژه اسپینورهای ناحیه نرمال	۴۶
۳-۱-۳ شرایط مرزی در یک اتصال NS	۴۹

صفحه	عنوان
۵۱	۴-۱-۳ رسانندگی دیفرانسیلی الکترونی در یک اتصال NS
۵۲	۲-۳ رسانندگی الکترونی اتصال گرافینی ابرسانا-عایق- نرمال
۵۳	۱-۲-۳ ویژه اسپینورهای ناحیه عایق
۵۴	۲-۲-۳ شرایط مرزی در NIS و تقریب سد باریک
۵۶	۳-۲-۳ رسانندگی دیفرانسیلی الکترونی در یک اتصال NIS
۵۷	۳-۳ جریان جوزفسون در یک اتصال گرافینی ابرسانا-نرمال-ابرسانا
۵۸	۱-۳-۳ شرط کوانتش برای ساختار SNS
۵۹	۲-۳-۳ وابستگی فاز-جریان برای ساختار SNS
۶۲	۴-۳ خواص تراپردی یک اتصال گرافینی ابرسانا-فرومغناطیس
۶۳	۱-۴-۳ ویژه اسپینورهای ناحیه فرومغناطیس
۶۴	۴-۳ بازتاب آندرویو و بازتاب نرمال در فصل مشترک FS
۶۵	۳-۴-۳ رسانندگی دیفرانسیلی الکترونی اتصال FS
۶۷	۴-۴-۳ رسانندگی دیفرانسیلی اسپینی اتصال FS
۶۹	۵-۴-۳ رسانندگی گرمایی یک اتصال FS
۷۱	۵-۳ خواص تراپردی یک اتصال گرافینی فرومغناطیس-ابرسانا-فرومغناطیس
۷۲	۱-۵-۳ احتمال بازتاب آندرویو و بازتاب نرمال در یک اتصال FSF
۷۳	۲-۵-۳ رسانندگی دیفرانسیلی الکترونی اتصال FSF
۷۴	۳-۵-۳ رسانندگی دیفرانسیلی اسپینی اتصال FSF
۷۵	۴-۵-۳ رسانندگی بهنجار گرمایی یک اتصال FSF
۷۸	۶-۳ جریان جوزفسون در یک اتصال گرافینی ابرسانا-فرومغناطیس-ابرسانا
۸۲	۷-۳ عایق توپولوژیک
۸۴	۸-۳ نتیجه گیری
۸۵	منابع و مأخذ

فهرست شکل‌ها

عنوان	صفحه
شکل (۱-۱) ساختار بلوری آلوتروپ‌های کربن	۲
شکل (۲-۱) اربیتال هیبریدی sp^2 اتم کربن	۵
شکل (۳-۱) ساختار بلوری و شبکه گرافین	۶
شکل (۴-۱) ساختار نواری (رابطه پاشیدگی) گرافین	۱۰
شکل (۵-۱) عکس SEM از یک وسیله‌ی گرافینی	۱۳
شکل (۶-۱) ترازهای لانداؤ	۱۴
شکل (۷-۱) جرم سیکلوترونی الکترون و حفره	۱۵
شکل (۸-۱) رسانندگی هال و مقاومت طولی در گرافین	۱۶
شکل (۹-۱) تونل زی کلاین در گرافین	۱۸
شکل (۱-۲) بازتاب آندریو دورانی در اتصال NS	۲۹
شکل (۲-۱) ساختار یک بعدی BTK	۳۱
شکل (۳-۱) نمودار انرژی-اندازه حرکت یک اتصال NS	۳۳
شکل (۴-۱) احتمال بازتاب‌ها و ترابردها در یک اتصال NS برای قدرت $Z = 0$	۳۵
شکل (۵-۱) احتمال بازتاب‌ها و ترابردها در یک اتصال NS برای قدرت $Z = 0.3$	۳۶
شکل (۶-۱) احتمال بازتاب‌ها و ترابردها در یک اتصال NS برای قدرت $Z = 1$	۳۶
شکل (۷-۱) احتمال بازتاب‌ها و ترابردها در یک اتصال NS برای قدرت $Z = 3$	۳۷
شکل (۸-۱) رسانندگی دیفرانسیلی اتصال NS	۳۹
شکل (۱-۳) تصویر AFM از یک لایه گرافین و دو الکترود ابررسانا	۴۱
شکل (۲-۱) بازتاب آندریو و نرمال در فصل مشترک گرافینی NS	۴۲
شکل (۳-۱) طیف برانگیختگی گرافین در حالت ابررسانا	۴۵
شکل (۴-۱) طیف برانگیختگی گرافین در ناحیه نرمال	۴۷
شکل (۵-۱) احتمال بازتاب آندریو در فصل مشترک NS	۵۰
شکل (۶-۱) احتمال بازتاب نرمال در یک اتصال NS	۵۰
شکل (۷-۱) رسانندگی دیفرانسیلی یک اتصال NS	۵۱
شکل (۸-۱) نمایش ساختاری یک اتصال گرافینی نرمال-عایق - ابررسانا	۵۲
شکل (۹-۱) احتمال بازتاب آندریو در یک اتصال NIS	۵۵

عنوان	صفحة
شكل (۳-۱۰) احتمال بازتاب نرمال از یک فصل مشترک NIS.....	۵۶
شكل (۳-۱۱) رسانندگی دیفرانسیلی یک اتصال NIS.....	۵۷
شكل (۳-۱۲) ساختار یک اتصال ضعیف گرافینی ابررسانا- نرمال- ابررسانا.....	۵۸
شكل (۳-۱۳) نمودار جریان - فاز یک اتصال تمیز SNS.....	۶۱
شكل (۳-۱۴) نمودار حاصلضرب جریان بحرانی در مقاومت نرمال یک اتصال SNS در حد اتصال کوتاه.....	۶۲
شكل (۳-۱۵) احتمال بازتاب آندرویو و احتمال بازتاب نرمال یک اتصال FS.....	۶۴
شكل (۳-۱۶) رسانندگی دیفرانسیلی الکترونی یک ساختار FS بر حسب انرژی برانگیختگی.....	۶۶
شكل (۳-۱۷) رسانندگی دیفرانسیلی الکترونی یک ساختار FS بر حسب پتانسیل تبادلی فرومغناطیسی.....	۶۶
شكل (۳-۱۸) رسانندگی دیفرانسیلی اسپینی یک ساختار FS بر حسب انرژی برانگیختگی.....	۶۸
شكل (۳-۱۹) رسانندگی دیفرانسیلی اسپینی یک ساختار FS بر حسب پتانسیل تبادلی فرومغناطیسی.....	۶۸
شكل (۳-۲۰) رسانندگی بهنجار گرمایی بر حسب تابع دما یک ساختار FS.....	۷۰
شكل (۳-۲۱) رسانندگی بهنجار گرمایی بر حسب تابعی از پتانسیل تبادلی یک ساختار FS.....	۷۱
شكل (۳-۲۲) نمایی از یک ساختار FSF به پهنهای W.....	۷۱
شكل (۳-۲۳) احتمال بازتاب آندرویو و احتمال بازتاب نرمال در یک اتصال FSF.....	۷۲
شكل (۳-۲۴) رسانندگی دیفرانسیلی الکترونی یک ساختار FSF.....	۷۴
شكل (۳-۲۵) رسانندگی دیفرانسیلی اسپینی عنوان تابعی از انرژی برانگیختگی شبه ذرات.....	۷۵
شكل (۳-۲۶) رسانندگی بهنجار گرمایی یک اتصال FSF به عنوان تابعی از دما.....	۷۶
شكل (۳-۲۷) رسانندگی بهنجار گرمایی به عنوان تابعی از طول ناحیه ابررسانا.....	۷۶
شكل (۳-۲۸) رسانندگی بهنجار گرمایی یک اتصال FSF بر حسب تابعی از پتانسیل تبادلی.....	۷۷
شكل (۳-۲۹) ساختار گرافینی ابررسانا- فرومغناطیسی- ابررسانا.....	۷۸
شكل (۳-۳۰) انرژی حالت‌های محدود آندرویو برای جهت‌گیری اسپین- بالا.....	۸۰
شكل (۳-۳۱) انرژی حالت محدود آندرویو برای حالت اسپین- پایین.....	۸۰
شكل (۳-۳۲) نمودار جریان- فاز یک ساختار SFS.....	۸۱
شكل (۳-۳۳) ساختار F N F عایق توپولوژیک.....	۸۳
شكل (۳-۳۴) رسانندگی اتصال ساختار F N F عایق توپولوژیک برای مغناطش موازی و پادموازی.....	۸۴
شكل (۳-۳۵) مقاومت مغناطیسی یک ساختار F N F عایق توپولوژیک.....	۸۴

چکیده:

گرافین، یک ساختار دو بعدی و تک لایه از اتم‌های کربن است که به صورت آرایه‌های شش گوشی در کنار یکدیگر قرار گرفته‌اند. در طی سال‌های گذشته، تلاش‌های بسیار برای ساخت گرافین با شکست مواجه شدند تا اینکه در سال ۲۰۰۴ در دانشگاه منچستر گایم و گروه همکارانش توانستند این ماده را در مقیاس قابل قبول آزمایشگاهی و به صورت پایدار تولید کنند. با تولید گرافین، توجه جمع کثیری از محققان نظری و تجربی به سوی این ماده جلب شد. گرافین به دلیل طیف برانگیختگی‌های دیراک گونه آن، در واقع آزمایشگاهی برای بررسی پیش‌بینی‌های کوانتوم نسبیتی و الکترودینامیک کوانتومی است.

با تایید القای ابررسانایی در گرافین، این ماده به ابزاری کاربردی برای مطالعه ابررسانایی و الکترودینامیک نسبیتی به طور همزمان نیز تبدیل شد.

از سوی دیگر، فرومغناطیسی تمایل دارد تا اسپین‌کترون‌ها را هم‌جهت با میدان تبادلی فرومغناطیسی سازد و در مقابل ابررسانایی تمایل دارد تا اسپین‌کترون‌ها را در راستای مخالف یکدیگر قرار دهد تا شرایط برای تشکیل زوج‌های کوپر فراهم گردد. هنگام حضور فرومغناطیسی و ابررسانایی در کنار یکدیگر به دلیل ماهیت متفاوت این دو پدیده، برهم-کنش آنها حائز اهمیت است. مطالعه برهم‌کنش‌های متقابل فرومغناطیسی و ابررسانایی در ساختارها و اتصالات فلزی به سال ۱۹۹۵ باز می‌گردد.

در این پایان‌نامه به مطالعه برهم‌کنش‌های بین فرومغناطیسی و ابررسانایی، که هر دو تحت اثر مجاورت می‌توانند در گرافین القا شوند، در یک ساختار گرافینی می‌پردازیم. ساختارهای مورد بررسی در این پایان‌نامه از نوع تمیز می‌باشند و برای این منظور، از فرمول بندی دیراک-بوگلیوبوف-دژن استفاده کردۀ‌ایم و با حل تحلیلی معادله‌ها، اثر مجاورت را بر رفتار شبه ذره‌های دیراک در گرافین مورد بررسی قرار داده‌ایم.

اثر مجاورت در فرمول بندی بوگلیوبوف-دژن و در یک اتصال ابررسانا-نمال در پدیده‌ی بازتاب آندریو خود را نمایان می‌کند. بازتاب آندریو در اتصال‌های گرافینی ویژگی آینه‌ای دارد که در تضاد با اتصال‌های فلزی است و ما به طور کامل به آن پرداخته‌ایم. جزئیات محاسبه‌ها و بررسی تاثیر فرومغناطیسی بر بازتاب آندریو را ارائه می‌دهیم. مرور رسانندگی دیفرانسیلی کترونی ساختارهای فرومغناطیس-ابررسانا، فرومغناطیس-عایق-ابررسانا و فرومغناطیس-ابررسانا-فرومغناطیس یکی دیگر از موضوعات بررسی شده در این تحقیق است. تولید جریان اسپین-قطبیده در یک اتصال فرومغناطیس-ابررسانا و فرومغناطیس-ابررسانا-فرومغناطیس را به عنوان پدیده‌ای که بسیار مورد توجه اسپیترونیک است مورد بررسی قرار داده‌ایم. ابرجریان ناشی از اختلاف فاز در ساختارهای ابررسانا-نمال-ابررسانا و ابررسانا-فرومغناطیس-ابررسانا را به دست آورده‌ایم. در نهایت، ترابرد گرمایی ساختارهای تک اتصالی و دو اتصالی را بررسی کردۀ‌ایم و نشانه‌های همدوسی در ترابرد کوانتومی را در مورد ساختارهای دو اتصالی نشان داده‌ایم.

کلید واژه‌ها: گرافین، ابررسانایی، اتصال ضعیف، رسانندگی دیفرانسیلی کترونی، رسانندگی دیفرانسیلی اسپینی، رسانندگی گرمایی، جریان جوزفسون، ترابرد کوانتومی همدوس.

فصل اول

گرافین

۱-۱ آلوتروپ^۱‌های کربن و گرافین

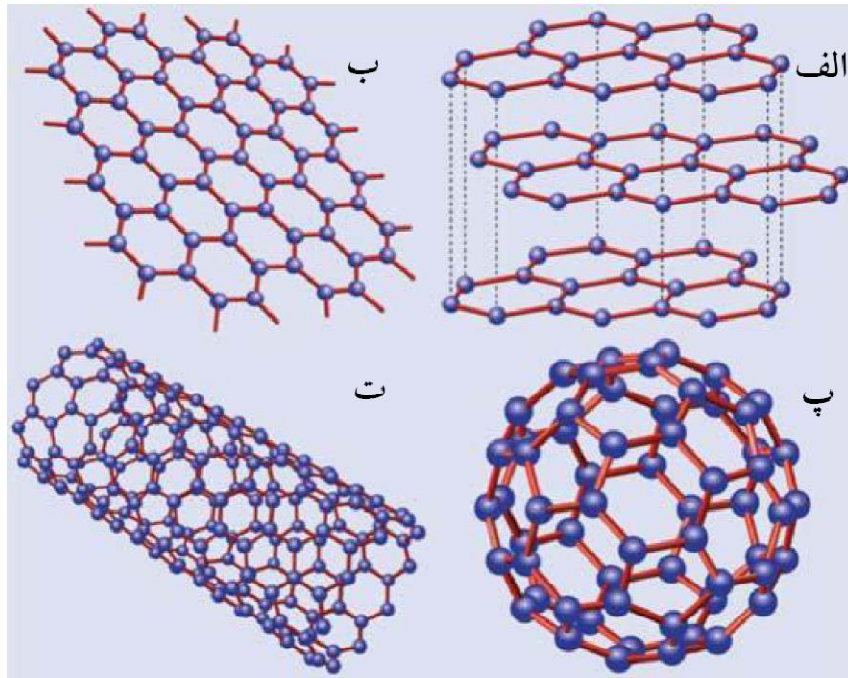
کربن یکی از عناصر در جدول تناوبی است که نقش منحصر به فردی در طبیعت دارد و پایه وجود حیات است. در واقع شکل‌گیری کربن در ستاره‌ها که نتیجه‌ای از هم‌جوشی سه ذره آلفا در یک فرآیند قطعی است، باعث به وجود آمدن عناصر شیمیایی نسبتاً سنگین در جهان می‌شود^[۱]. کربن تنها عنصر جدول تناوبی است که دارای ایزومر^۲‌هایی از ابعاد صفر (فولرن^۳) تا سه (گرافیت) است. در شکل(۱-۱) ساختار بلوری آلوتروپ‌های مختلف کربن آمده است.

ساختارهای سه بعدی گرافیت و الماس، از زمان‌های بسیار قدیم شناخته شده‌اند. ساختار صفر بعدی فولرن (۱۹۸۵)^[۴-۲] و ساختار یک بعدی نانولوله نیز (تک لایه ۱۹۹۳ و دو لایه ۱۹۹۱) نزدیک به دو دهه پیش کشف شده‌اند^[۵]. گرافیت، از صفحه‌های تخت از اتم‌های کربن که در شبکه‌ی لانه زنبوی قرار گرفته‌اند، تشکیل شده است. به طوری که بر هم کنش ضعیف واندروالس بین لایه‌ها وجود دارد. نانولوله‌ها، از پیچیده شدن این صفحه‌های تخت ایجاد می‌شوند که بسته به جهت پیچش، می‌توانند خواص الکترونی فلز و یا نیمه‌فلز داشته باشند و فولرن‌ها که با ایجاد یک نقص توپولوژیکی از این لایه‌های دو بعدی به دست می‌آیند.

^۱Allotrope

^۲Isomer

^۳Bucky balls



شکل (۱-۱): ساختار بلوری آلوتروپ‌های مختلف کربن: الف، گرافیت (سه بعدی)، ب، گرافین (دوبعدی)، پ، فولرن (صفر بعدی)، ت، نانولوله (یک بعدی) [۶].

الماس نیز با تبدیل پیوند دوبعدی sp^2 به پیوند سه بعدی sp^3 تحت فشار و دمای خیلی زیاد به دست می‌آید. بنابراین تمامی این ساختارها به نحوی از لایه‌ی دوبعدی کربن به وجود آمده‌اند که نقطه شروع محاسبات در این ساختارها است. این لایه‌ی دوبعدی، گرافین نام دارد. گرافین، تک لایه‌ای از اتم‌های کربن است که در شبکه‌ی لانه زنبوری قرار گرفته‌اند. تا سالیان دراز این فرم دوبعدی کربن به حالت آزاد غایب بود و تلاش‌های تجربی برای تولید آن با شکست همراه بود[۷]. در واقع بیشتر فیزیکدانان معتقد بودند که یک بلور دوبعدی مثل گرافین از لحاظ تئوری پایدار نیست و نمی‌تواند به صورت یک صفحه تخت وجود داشته باشد و احتمالاً خمیده خواهد شد[۸].

۱-۲ ساخت گرافین

با وجود اینکه تصور می‌شد لایه‌های دوبعدی کربن نمی‌توانند وجود داشته باشند، در سال ۲۰۰۴ یک گروه از فیزیکدان‌ها در دانشگاه منچستر به سرپرستی آندره گایم^۱ به این فرض پایان دادند. آن‌ها توانستند با استفاده از یک روش کاملاً متفاوت و در نگاه اول ساده انگارانه این کار را انجام دهند و تک لایه گرافین را جدا کنند و با این کار تحول عظیمی در این زمینه به وجود آورند. آن‌ها از گرافیت سه بعدی آغاز کردند و یک تک لایه از اتم‌ها را با تکیکی به نام شکاف میکرومکانیکی^۲ جدا کردند[۹، ۱۰]. در واقع همان طور که قبلًا هم اشاره شد، گرافیت ساختار لایه‌ای دارد و شامل تعدادی از صفحه‌های دوبعدی گرافین است که به صورت ضعیفی (وان-دروالس) به هم جفت شده‌اند. ضعیف بودن پیوند بین لایه‌ها نسبت به پیوند اتم‌های کربن در هر لایه موجب می‌شود که جداسازی لایه‌ها به راحتی صورت گیرد (در هنگام نوشتن با مداد به طور مداوم این کار صورت می‌گیرد) و آن خصوصیتی است که توسط تیم دانشگاه منچستر مورد استفاده قرار گرفت. همین طور با استفاده از روش بالا و با شروع از بلورهای سه بعدی بزرگ، از تمامی مسائلی که در مورد پایداری بلورهای کوچک در ابتدای رشد وجود داشت، اجتناب می‌شود. این گروه از این روش برای ساخت صفحه‌های دوبعدی از موادی چون بورونیترید و بعضی مواد دیکالکوژنید^۳ و ابر رساناهای دمای بالا نظیر BiSrCaCuO نیز استفاده کردند[۱۱]. گروه گایم از نوارهای چسبنده برای جدا کردن لایه‌هایی که در گرافیت به صورت ضعیفی به هم متصل‌اند، استفاده کردند و سپس آن لایه‌های تازه را روی سطح اکسید سیلیکون مالیدند. همین طور با استفاده از تکنیک نوشتن با مداد، بلورهای گرافینی کوچک را روی یک سطح سخت کشیدند و نمونه‌هایی با کیفیت بالا ساختند.

این تک لایه‌ها کاملاً نور مرئی را عبور می‌دهند، بنابراین نمی‌توان از میکروسکوپ نوری استفاده کرد. AFM^۴، تنها روشی است که برای مشخص کردن بلور تک لایه‌ای استفاده می‌شود. در حالی که گروه دیگری در دانشگاه جرجیا^۵ یک روش دیگری به نام روش رشد هم بافته^۶ را به کار برداشت که برای استفاده صنعتی (تولید انبوه) مناسب است[۱۲]. این یافته‌ها یک پیغام مهم دارند و آن این که بلورهای دوبعدی وجود دارند و در دمای

^۱Andre Geim

^۲Micromechanical cleavage

^۳Dichalcogenide

^۴Atomic Force Microscopy

^۵Georgia Institute of Technology

^۶Epitaxial growth process

اتاق و در هوای محیط پایدار هستند. این روش اجازه تولید آسان و با کیفیت بالا را می‌دهد و بلورهای بزرگ گرافین به اندازه‌های ۱۰ میکرومتر هم ساخته شده‌اند^[۹، ۱۳]. کیفیت نمونه‌های تولید شده به اندازه‌ای خوب است که تراپرد بالستیک^[۱۰] و اثر کوانتموی هال^[۹، ۱۳] به راحتی در گرافین قابل مشاهده است و این ویژگی‌ها باعث شده تا گرافین کاندیدای ایده‌آلی برای کاربردهای آینده در نانوالکترونیک باشد.

۱-۳ بررسی پایداری گرافین

بیش از ۷۰ سال پیش لاندانو و پیرلس^۱ اعلام کردند که بلورهای دو بعدی از لحاظ ترمودینامیکی غیرپایدار هستند و نمی‌توانند وجود داشته باشند^[۸] که بعد این نظریه توسط واگنر و مرمن^۲ تایید شد. بنابر قضیه واگنر و مرمن هیچ نظم بلند برد دو بعدی وجود ندارد^[۱۴]. بنابراین هیچ ساختار دو بعدی منظم و پایداری با ابعاد بزرگ را نمی‌توان تولید کرد. زیرا ساختارهای منظم یعنی تولید بلور با تقارن و نظم انتقالی و چون هیچ نظم بلند برد دو بعدی وجود ندارد، لذا نمی‌توان ساختار دو بعدی پایدار ساخت. سوالی که اکنون باید پاسخ گفته شود این است که با توجه به توضیحات بالا گرافین چگونه ساخته شده است. پاسخ این پرسش را می‌توان با بررسی ییشتر ساختار گرافین یافت. گرافین ساخته شده در واقع یک شبکه براوه کامل نیست، چرا که همواره در ساختار آن دررفتگی و جایه‌جایی اتم‌های کربن وجود دارد. به علاوه سطح گرافین یک سطح کاملاً دو بعدی و هموار نیست و همیشه در سطح آن افت و خیزهای البته تصادفی و با اندازه‌های گوناگون وجود دارد. این دو مسأله روی هم سبب می‌شود تا گرافین یک شبکه دو بعدی کامل با تقارن انتقالی صد درصد نباشد و در یک کلام یک شبکه براوه تشکیل ندهد. همین نکته راه فرار از قضیه مرمن و اگنر است. بنابراین لایه‌های تک بلوری می‌توانند وجود داشته باشند اما چروکیده خواهند بود این چین و چروکها در گرافین وقتی که آزادانه معلق است مشاهده شده است و احتمالاً تأثیر مهمی در تراپرد الکترونی نیز دارد^[۱۵].

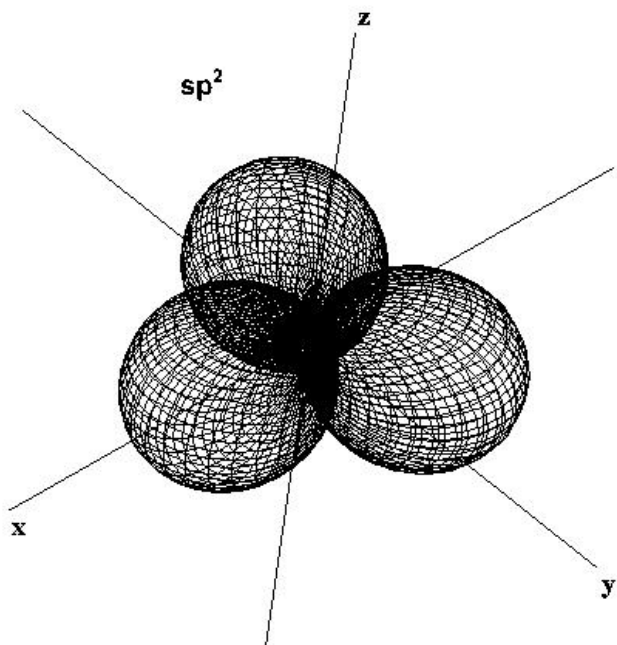
۴-۱ ساختار شبکه گرافین

اتم کربن توانایی استثنایی در تشکیل انواع پیوندها را دارد. اتم کربن با ۶ الکترون ساختار الکترونی پایه‌ی $1s^2 2s^2 2p^2$ دارد اما در زمان ترکیب با دیگر اتم‌ها به حالت برانگیخته^۳ $1s^2 2s^1 2p^3$ در می‌آید که می‌تواند به دو صورت متفاوت هیبریدی شود که به ترتیب در هر یک با ۲ یا ۴ اتم می‌تواند پیوند داشته باشد. مثلاً در مورد

^۱Peierles

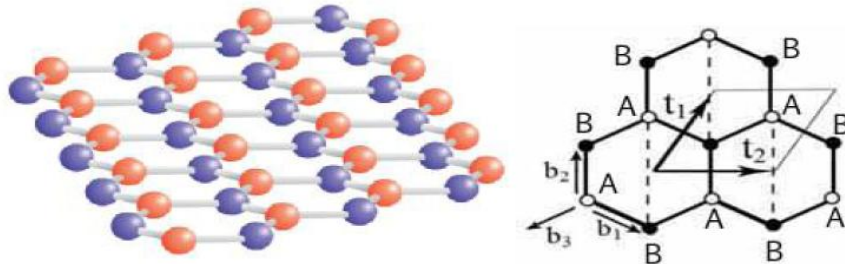
^۲Wagner-Mermin theorem

گرافین اریتال‌های $2s$, $2p_x$ و $2p_y$ هر اتم با هم اریتال هیبریدی sp^2 با زاویه 120° درجه نسبت به هم می‌سازند. اریتال sp^2 یک اتم با اریتال sp اتم مجاور که در راستای آن است پیوند σ تشکیل می‌دهند که به ساختار لانه زنبوری گرافین منجر می‌شود. اما در مورد اریتال $2p_z$ هر اتم یک اریتال $2p_z$ دارد که پر باقی مانده است و جهت‌گیری آن عمود بر صفحه گرافین است. این اریتال‌های $2p_z$ موجب تشکیل پیوندهای اضافی π میان اتم‌های مجاور می‌شوند. همپوشانی اریتال‌های π کم است و در نتیجه پیوند ضعیف می‌شود.



شکل (۲-۱): اریتال هیبریدی sp^2 اتم کربن

با توجه به مطالب بالا در حالی که الکترون‌های پیوند σ به مقدار زیادی تحت تأثیر هسته‌های مجاور هستند و جایگزیده‌اند، الکترون اریتال p_z به دلیل جهش میان اتم‌ها به حالت‌های گستردگی و یک نوار انرژی منجر می‌شود.



شکل (۳-۱): ساختار بلوری و شبکه گرافین [۱۶].

اکنون یک شبکه لانه زنبوری که به ازای هر نقطه یک الکترون دارد، در نظر می‌گیریم. شبکه لانه زنبوری یک شبکه براوه نیست ولی از دو زیر شبکه متماثلی که براوه‌اند تشکیل شده است. لذا هر اتم کربن سه همسایه نزدیک دارد که با فاصله‌های مساوی a (تقریباً $1/42 \text{ Å}^{\circ}$). از آن قرار گرفته‌اند. این سه اتم کناری در حالت متقارن نسبت به یکدیگر قرار دارند و می‌توان با یک دوران 60° درجه آن‌ها را با یکدیگر جابه‌جا کرد. بدون این‌که به ساختار شبکه آسیبی وارد شود. با توجه به شکل (۳-۱) اگر یک اتم متعلق به زیرشبکه A باشد، سه اتم کربن دیگر که نزدیکترین همسایه آن محسوب می‌شوند متعلق به زیرشبکه B می‌باشند. بردارهای سلول واحد^۱:

$$\begin{cases} \vec{t}_1 = (\sqrt{3}a, 0) = \sqrt{3}a(1, 0) \\ \vec{t}_2 = \left(\frac{\sqrt{3}}{2}a, \frac{3}{2}a\right) \end{cases} \quad (1-1)$$

بردارهای شبکه حقیقی^۲

$$\begin{cases} \mathbf{b}_1 = a\left(\frac{\sqrt{3}}{2}, \frac{-1}{2}\right) \\ \mathbf{b}_2 = a(0, 1) \\ \mathbf{b}_3 = a\left(\frac{-\sqrt{3}}{2}, \frac{-1}{2}\right) \end{cases} \quad (2-1)$$

مساحت سلول واحد

$$S = \hat{k} \cdot (\vec{t}_1 \times \vec{t}_2) = 3 \frac{\sqrt{3}}{2} a^2 \quad (3-1)$$

^۱ Unit Cell
^۲ Real lattice

اکنون بردارهای پایه در فضای وارون^۱ را پیدا می کنیم

$$\mathbf{g}_1 = \frac{\vec{t}_1 \times \mathbf{k}}{\hat{k} \cdot (\vec{t}_1 \times \vec{t}_2)} = \frac{4\pi}{3a} \left(\frac{\sqrt{3}}{2}, \frac{1}{2} \right) \quad (4-1)$$

$$\mathbf{g}_2 = \frac{\vec{t}_2 \times \mathbf{k}}{\hat{k} \cdot (\vec{t}_1 \times \vec{t}_2)} = \frac{4\pi}{3a} \left(\frac{\sqrt{3}}{2}, -\frac{1}{2} \right)$$

سلول واحد در فضای وارون نیز دارای دو پایه می باشد که یکی متعلق به زیر شبکه A و دیگری متعلق به زیر شبکه B است.

با توجه به توضیح های بالا تقریب تنگ بست^۲ را برای توصیف ویژگی های گرافین به کار می بریم. اگر تابع بلاخ الکترونی را با استفاده از توابع جایگزینه اتمی در جایگاه های اتمی بسازیم یک بسط به صورت زیر به دست می آوریم:

$$\Psi_k(r) = \sum_{R \in G} e^{ik \cdot R} \phi(r - R) \quad (5-1)$$

که در عبارت بالا $\phi(r)$ در واقع تابع موج مربوط به سلول واحد است و بنابراین می تواند به صورت ترکیب خطی از اریتال های اتمی دو اتم داخل آن $\Phi = \sum_{i=1,2} b_i \phi_i$ نوشته شود. همچنین R بردار جابه جایی است که ترکیبی از t_i ها می تواند باشد. برای ادامه کار هامیلتونی تک الکترون درون شبکه ناشی از یون ها را بر تابع موج بالا اثر می دهیم

$$H = \frac{\mathbf{p}^2}{2m} + \sum_{R \in G} \sum_{i=1,2} V_{at}(r - t_i) \quad (6-1)$$

$$H\Psi = E\Psi \quad (7-1)$$

$$\langle \phi_j | H | \Psi \rangle = E \langle \phi_j | \Psi \rangle \quad j = 1, 2 \quad (8-1)$$

از آنجا که از تقریب تنگ بست کمک گرفته ایم، خواهیم داشت

$$\langle \phi_1 | \Psi \rangle = b_1 + b_2 \langle \phi_1 | \phi_2 \rangle \sum_{i=1}^r e^{-ik \cdot a_i} \quad (9-1)$$

$$\langle \phi_2 | \Psi \rangle = b_2 + b_1 \langle \phi_2 | \phi_1 \rangle \sum_{i=1}^r e^{ik \cdot a_i}$$

در رابطه بالا فرض می کنیم که $\langle \phi_1 | \phi_2 \rangle = \langle \phi_2 | \phi_1 \rangle = \gamma$ است.

^۱Inverse Space

^۲Tight Binding Approximation

حال به محاسبه $\langle \phi_i | H | \Psi \rangle$ بر می‌گردیم. ابتدا باید توجه شود که هامیلتونی H شامل یک هامیلتونی دقیق برای

atom اول است که با $H_1 = \frac{\nabla^2}{2m} + V_{at}(r - r_1)$ نشان داده می‌شود و پتانسیل حاصل از atom دیگر را با ΔH_1 نشان

می‌دهیم. داریم

$$H = H_1 + \Delta H_1 = H_1 + \Delta H_1 \quad (10-1)$$

و همچنین در نظر می‌گیریم

$$H_1 |\phi_j\rangle = \epsilon_j |\phi_j\rangle \quad (11-1)$$

که ϵ_j انرژی اربیتال $2p_z$ atom کربن است و شرط $\epsilon_1 = \epsilon_2$ که برای سادگی با ϵ نشان می‌دهیم و می‌توانیم مقدار آن را صفر در نظر بگیریم. در این صورت خواهیم داشت

$$\begin{aligned} \langle \phi_1 | H | \psi \rangle &= \langle \phi_1 | H_1 + \Delta H_1 | \psi \rangle = \langle \phi_1 | \Delta H_1 | \psi \rangle \\ \langle \phi_2 | H | \psi \rangle &= \langle \phi_2 | H_1 + \Delta H_1 | \psi \rangle = \langle \phi_2 | \Delta H_1 | \psi \rangle \end{aligned} \quad (12-1)$$

که در بالا مبدأ انرژی β فرض شده است. حال فرض می‌کنیم که

$$\beta = \langle \phi_1 | \Delta H_1 | \phi_1 \rangle \quad (13-1)$$

و

$$\gamma_1 = \langle \phi_1 | \Delta H_1 | \phi_2 \rangle = \langle \phi_2 | \Delta H_1 | \phi_1 \rangle \quad (14-1)$$

و

$$f(k) = \sum_{i=1}^r e^{ik.a_i} \quad (15-1)$$

که $f(k)$ تابع ساختار شبکه نامیده می‌شود. که با قرار دادن (13-1) و (14-1) در (12-1) به رابطه زیر می‌رسیم

$$\begin{aligned} \langle \phi_1 | H | \psi \rangle &= b_1 \beta + b_2 \gamma_1 f^*(k) \\ \langle \phi_2 | H | \psi \rangle &= b_2 \beta + b_1 \gamma_1 f(k) \end{aligned} \quad (16-1)$$

و درنهایت برای معادله شرودینگر داریم

$$\begin{pmatrix} \beta & f^*(k)(\gamma_1 - \gamma_2 E) \\ f(k)(\gamma_1 - \gamma_2 E) & \beta \end{pmatrix} \begin{pmatrix} b_1 \\ b_2 \end{pmatrix} = E \begin{pmatrix} b_1 \\ b_2 \end{pmatrix} \quad (17-1)$$

که بدین ترتیب می‌توانیم رابطه پاشندگی $E(k) = E$ را به دست آوریم.

در عبارت بالا β برابر تغییر انرژی اریتال اتمی p_z به وسیله اتم‌های دیگر است و با توجه به کوچک بودن مقدار آن قابل چشم‌پوشی می‌باشد. پس معادله بالا با این فرض که مقدار β کوچک است به صورت زیر خواهد بود.

$$\begin{pmatrix} \cdot & \gamma_1 f^*(k) \\ \gamma_1 f(k) & \cdot \end{pmatrix} \begin{pmatrix} b_1 \\ b_2 \end{pmatrix} = E(k) \begin{pmatrix} b_1 \\ b_2 \end{pmatrix} \quad (18-1)$$

با حل معادله بالا ویژه مقدارهای زیر را بدست می‌آوریم

$$E(k) = \pm \gamma_1 |f(k)| \quad (19-1)$$

$$\text{Det}[H(k) - E(k)I_{xx}] = 0 \quad (20-1)$$

$$\begin{aligned} E'(k) &= [\gamma_1 f(k)][\gamma_1 f^*(k)] \\ &= \gamma_1^2 [2\cos(\frac{\sqrt{3}}{2}k_x a)e^{ik_y \frac{a}{\gamma_1}} + e^{-ik_y a}][2\cos(\frac{\sqrt{3}}{2}k_x a)e^{-ik_y \frac{a}{\gamma_1}} + e^{ik_y a}] \\ &= \gamma_1^2 [1 + 2\cos(\frac{\sqrt{3}}{2}k_x a)(e^{ik_y \frac{a}{\gamma_1}} + e^{-ik_y \frac{a}{\gamma_1}}) + 2\cos(\frac{\sqrt{3}}{2}k_x a)] \\ &= \gamma_1^2 [1 + 2\cos(\frac{\sqrt{3}}{2}k_x a)\cos(\frac{\sqrt{3}}{2}k_y a) + 2\cos(\frac{\sqrt{3}}{2}k_x a)] \end{aligned} \quad (21-1)$$

بنابراین رابطه پاشیدگی انرژی در گرافین در محدوده انتشار تقریب بستگی قوی به صورت زیر است [۱۶، ۱۷]

$$E(k) = \pm \gamma_1 \sqrt{1 + 2\cos(\frac{\sqrt{3}}{2}k_x a)\cos(\frac{\sqrt{3}}{2}k_y a) + 2\cos(\frac{\sqrt{3}}{2}k_x a)} \quad (22-1)$$

این نوع رابطه پاشندگی که در آن انرژی متناسب با قدر مطلقتابع ساختار شبکه می‌شود نتیجه‌ای عمومی در تقریب بستگی قوی است.